

High energy nuclear physics

Membri



UNIFI

F.B (PO), L. Del Zanna (PA), E. Grossi (RTDA)

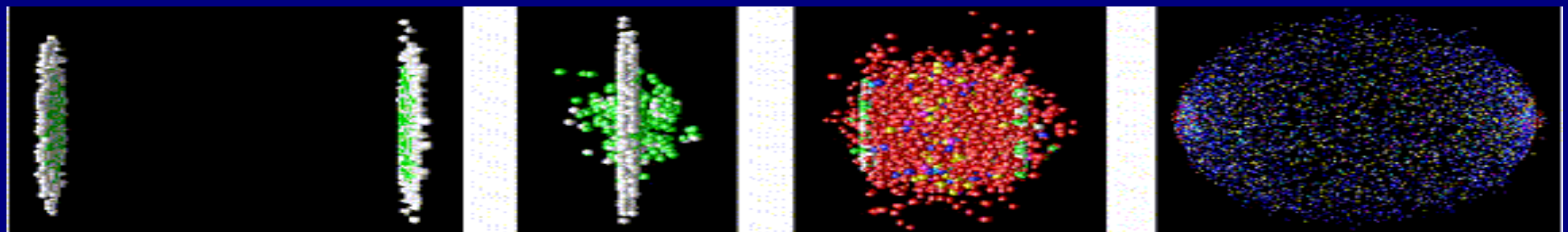


UNICT

V. Greco (PO), S. Plumari (PA), S. Siringo (PA)

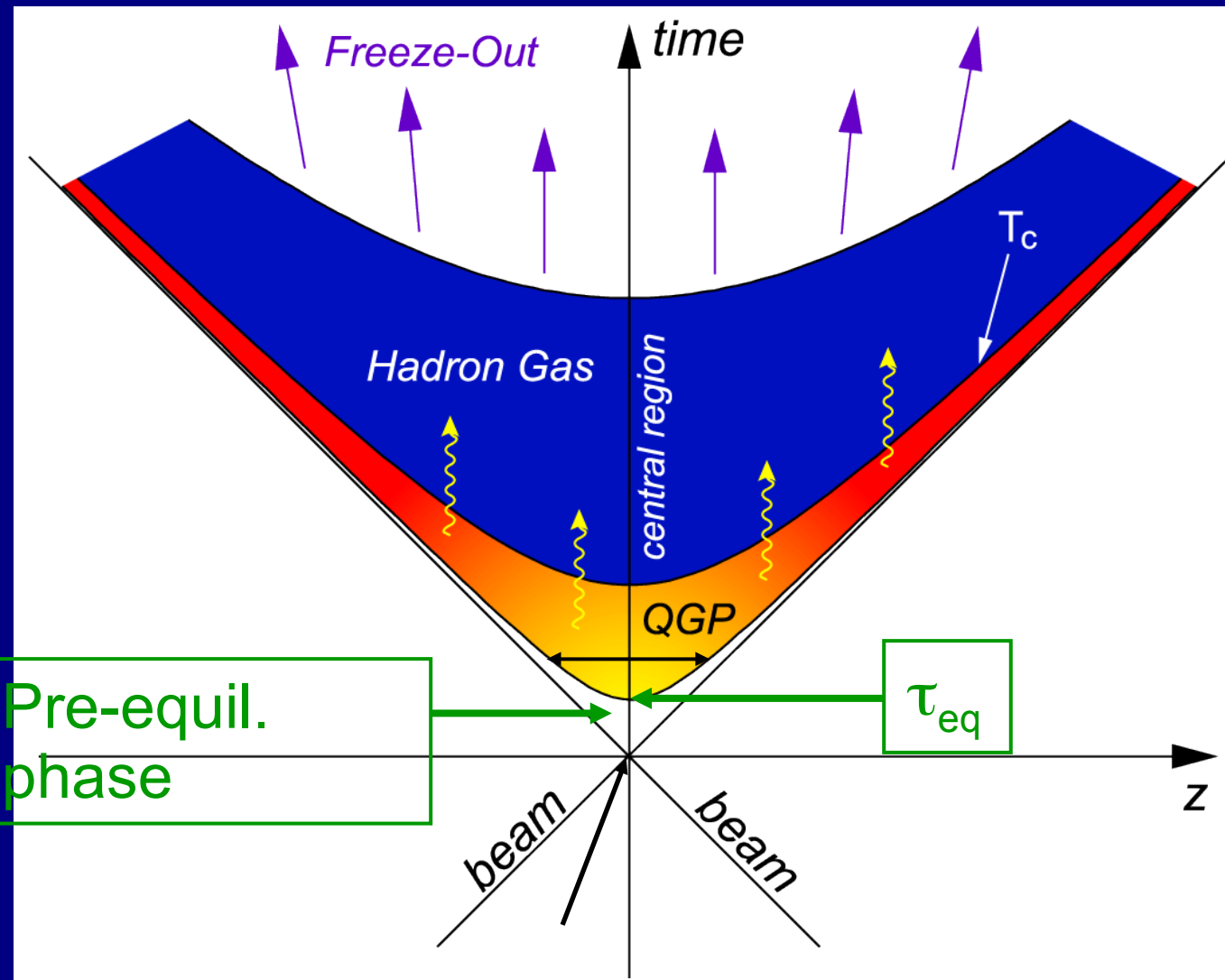
Collisioni nucleari ultrarelativistiche

Produzione del plasma di quarks e gluoni e studio della
fase deconfinata di QCD

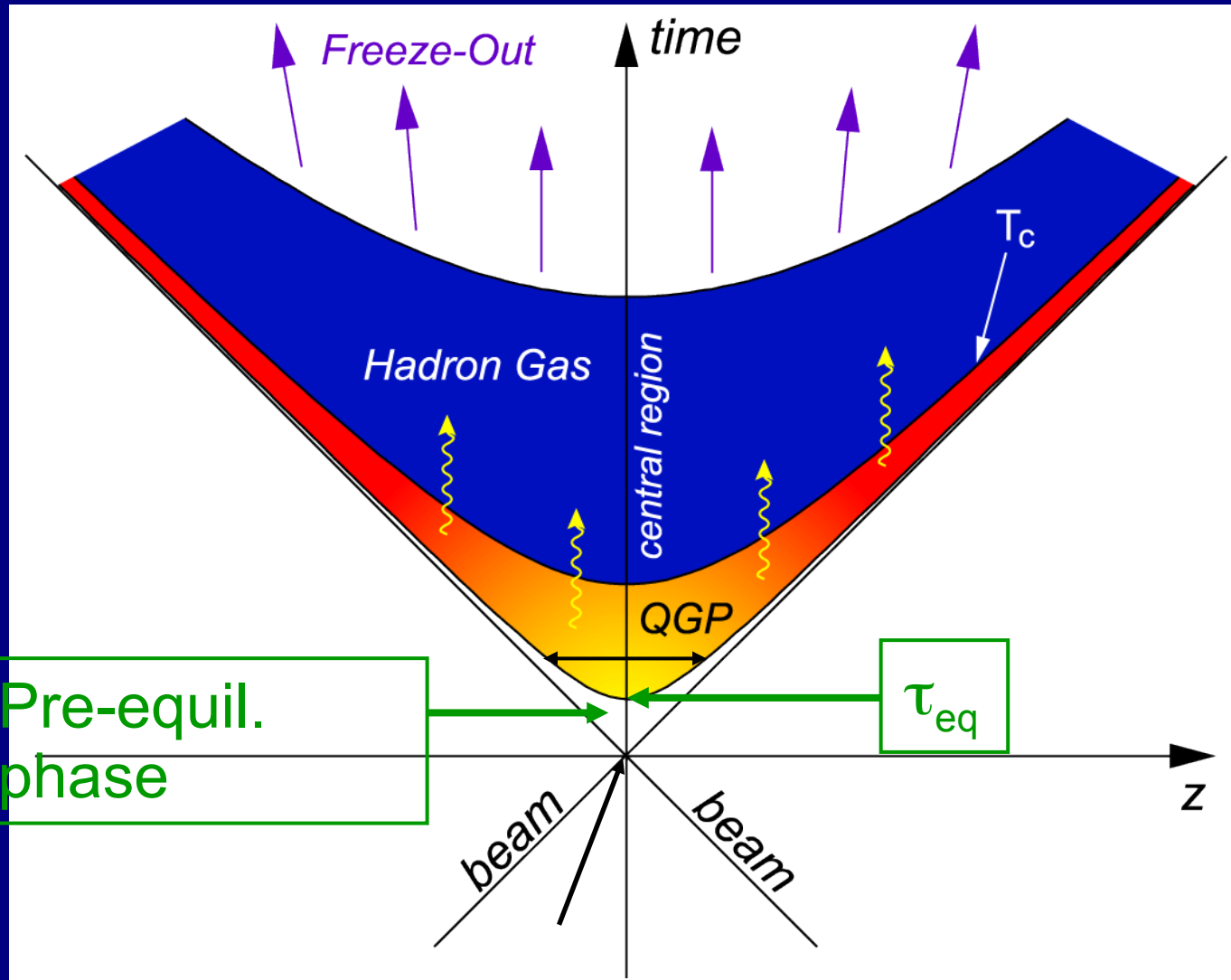


Accelerat or	Lab	\sqrt{s}_{NN}	Nuclei
SPS (90's)	CERN	6-18	Pb-Pb
RHIC (00-..)	RHIC	7.7-200	Au-Au
LHC (09-..)	CERN	2750	Pb-Pb

Schema del processo di collisione



Relativistic hydrodynamical model



$$\partial_\mu T^{\mu\nu} = 0$$
$$\partial_\mu j_B^\mu = 0$$

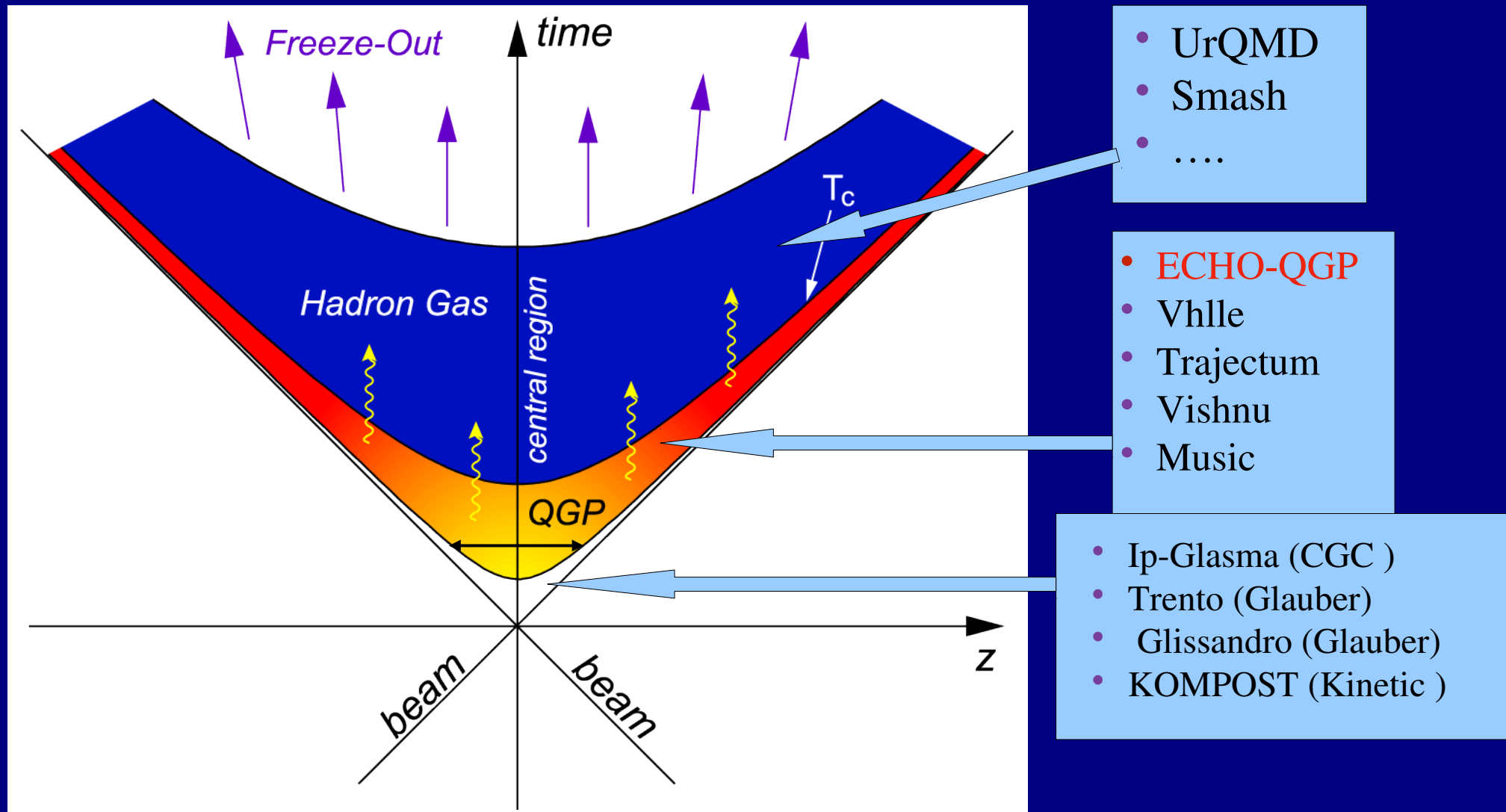
★ Local thermodynamical equilibrium throughout the QGP phase

★ Lattice QCD Equation of State

★ Viscous fluid

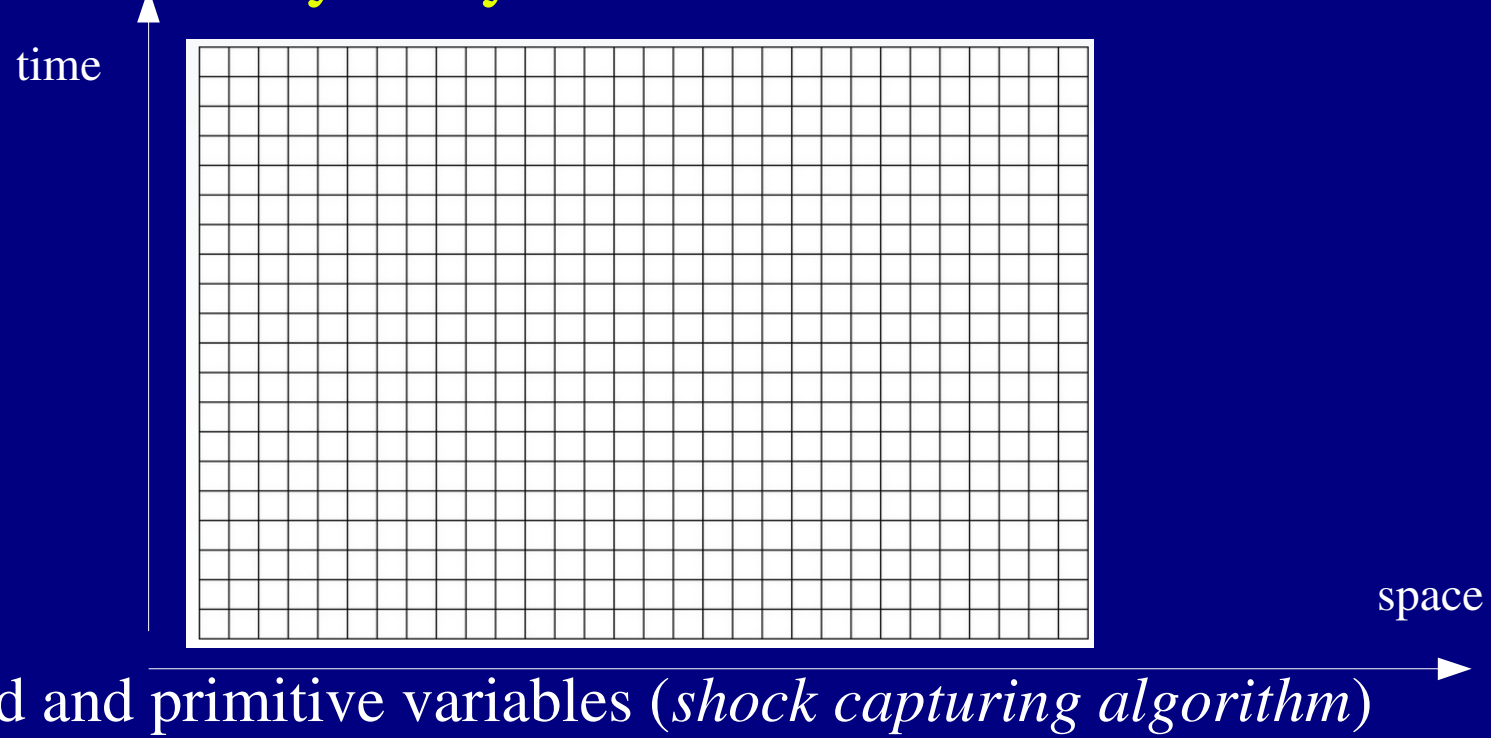
★ 3+1 D numerical calculations

Numerical codes



Multiple codes for a single event

Hydrodynamical codes



$$\partial_t U + \partial_i U^i = S \quad U^j = (T^{0j}, T^{ij})^T$$

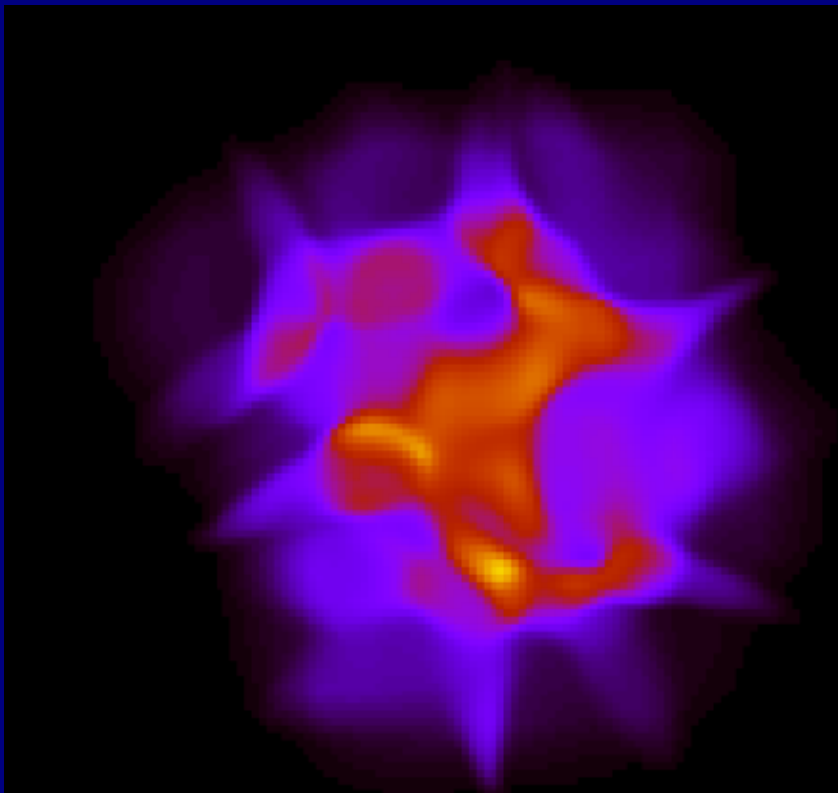
At each time step for each site one needs to solve a non linear system to obtain temperature, fluid velocity ecc. from the stress-energy tensor

Extra equation: Israel-Stewart theory

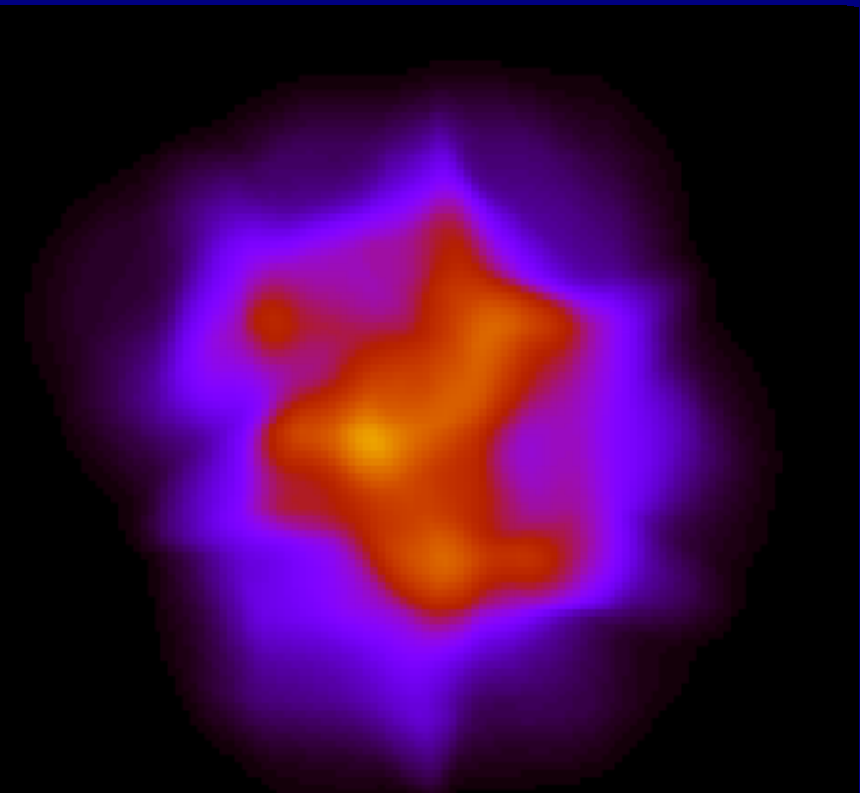
$$\tau_\pi u^\lambda \nabla_\lambda \pi^{\mu\nu} = -\eta \sigma^{\mu\nu} + \pi^{\mu\nu}$$

Viscosity smoothens fluctuations and affect more higher harmonics

Ideal



Viscous



$t = 3.7 \text{ fm}/c$

$\eta/s=0$

$\eta/s=0.16$

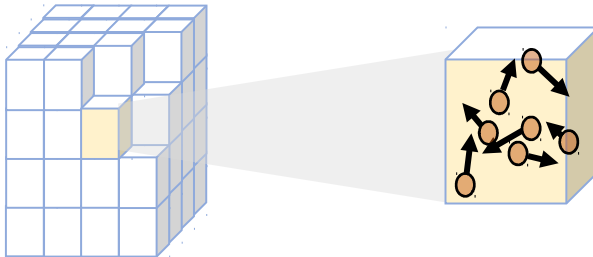
Three years plan

- Optimization of the existing codes for fast generation of events;
- Parallelization;
- Develop a new version of ECHO-QGP (viscous) with direct solution of the partial differential equations in the primitive variables;
- Transition from the variables u, p, ϵ, n (four-velocity, pressure, energy density and charge density) to the four-temperature vector $\beta = (1/T) u$ and $\zeta = \mu/T$;
- Implementation of first-order causal relativistic hydrodynamics (no Israel-Stewart theory required)

Relativistic Boltzmann Transport code

$$\{p^\mu \partial_\mu + m \partial^\mu m \partial_\mu^p\} f(x, p) = C_{22}[f] + \dots$$

$$C_{22}[f] = \frac{1}{2E_1} \int \frac{d^3 p_2}{2(2\pi)^3 E_2} \int \frac{d^3 p'_1}{2(2\pi)^3 E'_1} \int \frac{d^3 p'_2}{2(2\pi)^3 E'_2} [f(p'_1)f(p'_2) - f(p_1)f(p_2)] |M|^2 (2\pi)^4 \delta^4(p_1 + p_2 - p'_1 p'_2)$$



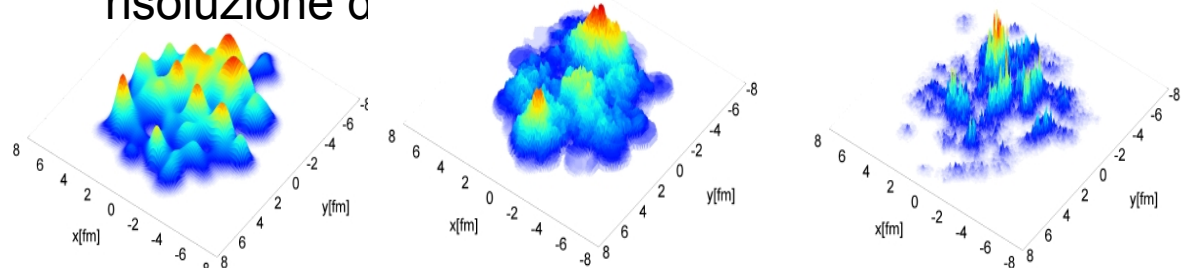
- Risolviamo le eq. di Hamilton per le test particles (Runge-Kutta di ordine 4)

$$\dot{\vec{r}}_i = \frac{\vec{p}_i}{\sqrt{p_i^2 + m(t, r_i)^2}} \quad \dot{\vec{p}}_i = \frac{-(1/2)\nabla_{\vec{r}} m(t, \vec{r}_i)^2}{\sqrt{p_i^2 + m(t, \vec{r}_i)^2}} + \text{coll.}$$

- Usiamo algoritmi Monte Carlo per risolvere l'integrale di collisione in ogni celletta della box di calcolo.

Simulazioni realistiche di collisione ad energie relativistiche dalle energie di RHIC alle energie di LHC e FCC.

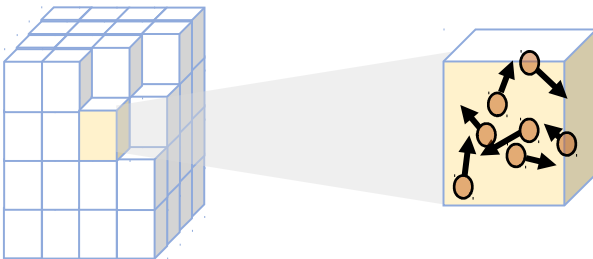
- Simulazioni evento per evento con un numero di eventi dell'ordine di $N_{\text{event}} \sim 10^{5-6}$
- Trattare in maniera unificata dalla fisica della scala di Λ_{QCD} fino alla dinamica dei Jet alle scale di $p_T \sim 100 \text{ GeV}$.
- Studiare diversi sistemi di collisione: da collisione nucleo-nucleo fino ai small systems come collisione protone-protone che richiedono una migliore risoluzione d



Relativistic Boltzmann Transport code

$$\{p^\mu \partial_\mu + m \partial^\mu m \partial_\mu^p\} f(x, p) = C_{22}[f] + \dots$$

$$C_{22}[f] = \frac{1}{2E_1} \int \frac{d^3 p_2}{2(2\pi)^3 E_2} \int \frac{d^3 p'_1}{2(2\pi)^3 E'_1} \int \frac{d^3 p'_2}{2(2\pi)^3 E'_2} [f(p'_1)f(p'_2) - f(p_1)f(p_2)] |M|^2 (2\pi)^4 \delta^4(p_1 + p_2 - p'_1 p'_2)$$



- Risolviamo le eq. di Hamilton per le test particles (Runge-Kutta di ordine 4)

$$\dot{\bar{r}}_i = \frac{\dot{p}_i}{\sqrt{p_i^2 + m(t, r_i)^2}}$$

$$\dot{p}_i = \frac{-(1/2)\nabla_{\bar{r}} m(t, \bar{r}_i)^2}{\sqrt{p_i^2 + m(t, \bar{r}_i)^2}} + \text{coll.}$$
- Usiamo algoritmi Monte Carlo per risolvere l'integrale di collisione in ogni celletta della box di calcolo.

Simulazioni realistiche di collisione ad energie relativistiche dalle energie di RHIC alle energie di LHC e FCC.

- Simulazioni evento per evento con un numero di eventi dell'ordine di $N_{\text{event}} \sim 10^{5-6}$
- Trattare in maniera unificata dalla fisica della scala di Λ_{QCD} fino alla dinamica dei Jet alle scale di $p_T \sim 100 \text{ GeV}$.
- Studiare diversi sistemi di collisione: da collisione nucleo-nucleo fino ai small systems come collisione protone-protone che richiedono una migliore risoluzione d

